

ПЕРЕМЕННЫЕ ЗВЕЗДЫ

Том 12

№ 4 (100)

1958

Исследование переменных звезд в шаровом звездном скоплении M3 = NGC 5272

I. Каталог фотографических величин 81 звезды во внешних частях скопления

Б. В. Кукаркин, Н. П. Кукаркина

Шаровое звездное скопление M3 = NGC 5272 является самым богатым переменными звездами шаровым скоплением. К 1955 г. в нем выявлено около 200 переменных звезд [1]. Эти переменные звезды неоднократно исследовались. К настоящему времени опубликовано 14 рядов наблюдений переменных звезд в этом скоплении. Однако большинство из этих наблюдений проведены в старых шкалах звездных величин и не отличаются однородностью.

В шаровом скоплении M3 величины нескольких звезд были определены с помощью фотоэлектрического фотометра в системах Р и V [2] и в системах U, B и V [3]. Таким образом была создана надежная основа для точных фотометрических и колориметрических исследований звезд в этом скоплении.

Мы задумали провести ревизию всего накопленного материала с целью получения возможно более точных характеристик переменных звезд. Одним из предварительных мероприятий в связи с этим было приведение всех фотометрических определений к единой системе. В процессе анализа материала выяснилось, что, несмотря на наличие обширных рядов определений звездных величин, имеются еще десятки звезд, величины которых никем не определялись. В связи с этим были предприняты измерения звездных величин 81 звезды на снимках, полученных в апреле-мае 1956 г. на телескопе системы Шмидта на Бюраканской астрофизической обсерватории АН АрмССР (отверстие 52 см, светосила 1:2.5). Снимки производились на несенсибилизированных пластинах Агфа-астро. Всего был получен 71 снимок. Четыре лучшие пластиинки, полученные в наиболее прозрачные ночи с устойчивыми условиями, были измерены на микрофотометре МФ-2 в лаборатории звездной астрономии ГАИШ. В начале и в конце каждой серии измерений измерялись также звезды, величины которых определил Баум в системе Р [2]. Основываясь на звездных величинах Баума в системе Р и его значениях показателей цвета, было предварительно определено цветовое уравнение нашей системы звездных величин относительно системы Р. Все определения Баума были приведены к нашей цветовой системе. Затем для каждой серии измерений были построены характеристические кривые и по способу наименьших квадратов решены системы уравнений, переводящих интенсивности, определенные на микрофотометре, в звездные величины. Использовались лишь измерения, приходящиеся на строго прямолинейную часть характеристической кривой. По сходимости измерений, полученных на разных пластинах, выведена средняя квадратичная ошибка относительных фотографических величин. Она оказалась равной $\pm 0^m043$.

Ниже приводится каталог звезд, измеренных в нашей фотометрической системе фотографических звездных величин. В первом столбце таблицы приведен номер звезды по каталогу Фон Цейпеля [4], а во втором — foto-

графические величины в нашей фотометрической системе. Звездочкой отмечены опорные звезды.

Пользуемся случаем выразить благодарность акад. *B. A. Амбарцумяну*, предоставившему нам возможность получить на обсерватории в Бюракане наблюдательный материал.

v. Z.	<i>m</i> pg	v. Z.	<i>m</i> pg						
143	16. ^m 07	180*	16. ^m 26	263*	14. ^m 78	1257	15. ^m 47	1423	15. ^m 47
145	15.92	182*	15.68	265*	14.77	1314	16.07	1426	15.72
147	15.47	186	16.13	280	15.91	1349	15.75	1427	16.05
152	15.93	187	16.04	287	15.00	1350	15.60	1429	15.92
153*	15.23	193*	15.67	302	15.34	1352*	15.98	1431	15.96
155*	15.59	194*	15.00	316	14.62	1358	14.79	1438	15.21
157	15.63	203*	15.65	419	15.37	1363	15.56	1442	15.94
158	15.88	216*	15.21	423	15.32	1369*	15.96	1444	15.70
162	15.43	225	15.90	426	15.18	1371*	15.66	1445	16.22
163	15.66	228	16.01	588	14.8	1376*	14.99	1449	14.50
165	15.95	235*	15.74	594	15.86	1385	16.23	214a	16.07
166	16.22	237*	14.66	709	14.64	1395	15.88	1265g	15.97
167*	15.94	246	14.31	926	14.87	1398	15.99	1293c	16.20
172	15.21	247	15.75	974*	16.30	1401*	15.63	1303a	16.18
176	16.09	254	16.06	990	15.64	1413*	15.76	1331a	16.14
177*	14.92	259	15.64	1000	14.45	1416	16.19	180 ¹	15.29
179*	15.36								

Звезда 180¹ имеет в системе координат Фон Цейпеля координаты: $x = -7.15$, $y = -8.45$.

Л и т е р а т у р а

1. *H. B. Sawyer*, Publ of the David Dunlap Obs. Univers. of Toronto **11**, № 2, 59, 1955.
2. *W. A. Baum*, AJ 57, 222, 1952.
3. *H. Jonson, A. Sandage*, ApJ 124, 379, 1956.
4. *M. H. von Zeipel*, Annales de l'Obs. de Paris **XXV**, f. 1, 1908.

Гос. астрономический институт
им. П. К. Штернберга

Об изменении периода XZ Орла

Г. Е. Ерлексова

По сталинабадским пластинкам за 1938—1957 гг. было получено 465 оценок блеска затменной переменной типа Алголя XZ Aql. Часть из этих оценок получена по панхроматическим пластинкам.

При оценках блеска использовались следующие звезды сравнения:

Т а б л и ц а 1

*	BD	St	St'	m_{pg}	m'_{pg}
a	—7°5261	0.0	0.0	9.96	9.5
b	—7 5270	9.8	10.8	10.59	10.1
c	—7 5273	16.6	13.9	11.19	10.3
d	—7 5272	21.6	23.9	11.80	11.1

Их звездные величины определены путем привязки к SA 112 глазомерным способом по 18 несенсибилизованным и ортохроматическим пластинкам сортов НИКФИ.

Средние звездные величины и общая для всех сортов пластинок степенная шкала, с помощью которой они выравнены, приведены в столбцах m_{pg} и St. Звездные величины на панхроматических пластинках пришлось находить особым способом. Из всех звезд сравнения только для одной звезды b нашелся в имеющейся у нас литературе спектр, который оказался K0. Величине звезды b в соответствии с ее спектром была придана поправка $-0^m 5$ [1]. Учитывая, что степенные разности a—b на несенсибилизованных и панхроматических пластинках почти одинаковы, и пользуясь степенной шкалой St', была получена шкала m_{pg}' для панхроматических пластинок. Однако сравнение средних кривых блеска, построенных отдельно по панхроматическим и несенсибилизованным пластинкам, показало, что панхроматическая кривая смещена относительно несенсибилизированной на $-0^m 05$. После приятия найденной таким образом поправки $+0^m 05$ ко всем панхроматическим наблюдениям мы нашли возможным проводить обработку их совместно с несенсибилизованными наблюдениями.

В 4-м дополнении к ОКПЗ (1948) даны элементы:

$$\text{Min} = \text{J.D. } 2433879.400 + 2.139144 \cdot E$$

и указано, что период изменяется. С этими элементами по нашим наблюдениям были определены 6 нормальных минимумов. O—C этих минимумов показали явный ход с эпохой. Для выявления характера изменения периода были собраны опубликованные минимумы XZ Aql. В нашем распоряжении оказалось 39 минимумов, охватывающих интервал времени более 5000 эпох и помещенных в табл. 2.

В табл. 2 в столбцах O—C и E даны фазы и эпохи, вычисленные с элементами Д4. График O—C имеет приблизительно параболический вид (рис. 1). Поэтому решено было представить изменение периода параболиче-

Таблица 3

Фаза	m_{pg}	n	Фаза	m_{pg}	n	Фаза	m_{pg}	n	Фаза	m_{pg}	n
0 ⁰ 005 (11 ^m 28	5		0 ⁰ 268	10 ^m 22	21	0 ⁰ 604	10 ^m 21	21	0 ⁰ 888	10 ^m 18	20
.012 11.23	6		.309 10.19	20		.666 10.19	19		.923 10.21	10	
.026 10.88	7		.363 10.19	19		.717 10.19	21		.938 10.26	10	
.059 10.38	6		.403 10.18	20		.761 10.22	20		.950 10.43	10	
.089 10.23	10		.423 10.19	21		.797 10.19	20		.963 10.73	6	
.122 10.26	10		.463 10.21	20		.827 10.17	20		.972 10.94	6	
.177 10.19	21		.504 10.21	21		0.856 10.20	19		0.991 (11.31	5	
0.209 10.18	21		0.555 10.20	21							

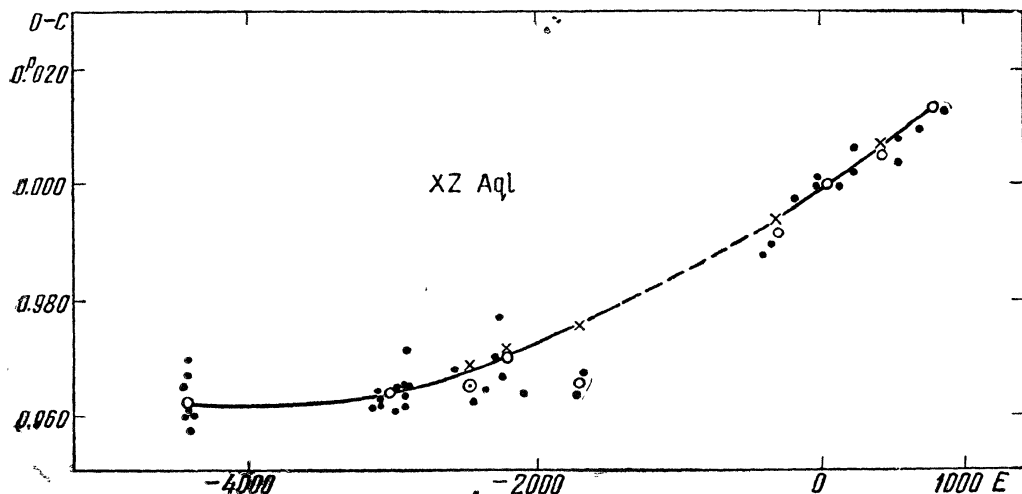


Рис. 1

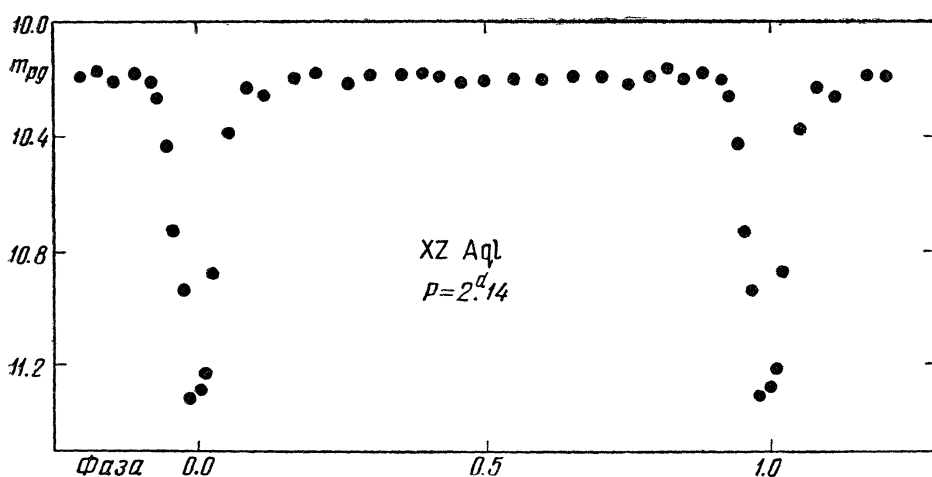


Рис. 2

Из средней кривой следует, что максимальный блеск равен $10^m.2$, минимальный — $11^m.3$, вторичный минимум не обнаруживается. Средняя эпоха наблюдений $E = 4310$, $O-C=0^0.000$.

В табл. 4 приведены наблюдения:

DR Лисички — затменная переменная с апсидальным движением

Г. Е. Ерлексова

Переменность этой звезды была открыта в 1935 г. *Хофмейстером*. В 1943 г. *Г. А. Ланге* подтвердил быстрые изменения ее блеска [¹]. В 1950 г. *В. П. Цесевич* и *О. К. Одынская* на основании визуальных наблюдений отнесли DR Vul к типу β Lyr и дали элементы [²]:

$$\text{Min} = \text{J. D. } 2430903.341 - 2.2512 \cdot E,$$

которые вошли в 3-е дополнение к ОКПЗ (1948). Этим исчерпывается литература о DR Vul. Наше внимание к этой звезде было привлечено тем, что указанные выше элементы плохо удовлетворяли нашим наблюдениям и выявились систематические смещения вторичных минимумов относительно главных.

Наблюдательный материал

Для изучения изменения блеска DR Vul мы постарались привлечь все доступные нам наблюдения. Всего было использовано 690 фотографических наблюдений. В основном они получены по пластинкам различного сорта: Сталинабадской службы неба за 1942—1957 гг. Из них 72 наблюдения получены по панхроматическим пластинкам сортов Agfa и НИКФИ за 1951—1954 гг., 88 наблюдений получены специальным фотографированием DR Vul цепочками на пластинках Agfa Astroplatten в 1957 г., 59 оценок блеска сделаны по московским пластинкам и 11 — по пластинкам Главной астрономической обсерватории АН УССР.

Звезды сравнения и звездные величины

В качестве звезд сравнения использовались следующие звезды:

Таблица 1

*	BD	St	m_{pg}
<i>a</i>	+ 25° 4180	0.0	8.26
<i>b</i>	+ 26 3840	—	9.11
<i>c</i>	+ 26 3837	14.6	9.51
<i>d</i>	+ 26 3860	12.0	—

Звездные величины звезд сравнения определены привязкой к Северному Полярному ряду. DR Vul и NPS фотографировались на одной и той же пластинке. По 10 таким пластинкам сорта Agfa Astroplatten были определены звездные величины, которые помещены в табл. 1 в столбце m_{pg} . Порядок фотографирования на 5 пластинках был DR Vul — NPS, на остальных 5 — NPS — DR Vul. Было учтено дифференциальное атмосферное поглощение.

При переводе степенных оценок в звездные величины использовались m_{pg} для всех сортов пластинок, кроме панхроматических. Затем были построены

ны средние кривые блеска DR Vul для каждого сорта отдельно. Сравнение их показало, что для построения общей средней кривой по всем сортам в шкале m_{pg} , относящейся к Agfa Astroplatten, требуется внесение поправок — 0^m.05 для несensiбилизованных пластинок НИКФИ и кинофабрики № 2 и ортохроматических НИКФИ.

Так как шкала звездных величин на панхроматических пластинах отлична от принятой нами и не было уверенности, что ее приведение к обычной не даст больших ошибок, то панхроматические наблюдения были обработаны в степенной шкале, приведенной в табл. 1.

Обработка наблюдательного материала

По наиболее глубоким индивидуальным 16 главным и 20 вторичным минимумам, помещенным в табл. 2 и 3, были улучшены элементы Цесевича и Одынской. Улучшенные элементы имеют вид:

$$\text{Min}_{\odot} I = J. D. \quad 2430903.360 + 2.250844 \cdot E. \quad (A)$$

Таблица 2
Главные минимумы

J. D. \odot	E	O-C	O-C _A	O-C _B	J. D. \odot	E	O-C	O-C _A	O-C _B
2430903.319	0	0 ^p 990	0 ^p 982	0 ^p 001	2434214.346	1470	0 ^p 782	0 ^p 998	0 ^p 990
.341*	.000	.992	.011		.369		.792	.008	.000
30984.330	35	.976	.975	.994	34608.290	1645	.775	.018	.006
31054.137	66	.985	.987	.007	34984.197**		.757	.025	.009
31918.449	450	.921	.981	.999		.219	.767	.035	.019
32463.160	692	.887	.985	.000	35038.182**	1826	.738	.009	.994
32733.870	812	.870	.985	.997		.205	.748	.019	.003
32796.290	840	.867	.986	.997	35317.308	1960	.728	.021	.003
32857.113	867	.885	.009	.020	36053.374	2287	.686	.037	.021
33154.217	999	.862	.005	.012					

* — визуальный минимум Цесевича.

** — панхроматический минимум.

Таблица 3

Вторичные минимумы

J. D. \odot	E	O-C	O-C _A	O-C _B	J. D. \odot	E	O-C	O-C _A	O-C _B
2428759.43:	-953	0 ^p 653	0 ^p 501	0 ^p 505	2433891.309	1327	0 ^p 285	0 ^p 479	0 ^p 482
30668.177	-105	.538	.513	.495	34152.402	1443	.268	.480	.487
31620.325	318	.491	.531	.511	34294.185:	1506	.247	.469	.477
31789.137	393	.479	.531	.512	34600.366	1642	.255	.498	.510
32023.233	497	.467	.535	.517	35012.252**	1825	.219	.489	.505
32795.228	840	.395	.515	.504	35282.331		.191	.480	.498
32831.217	856	.382	.504	.493		.368	1945	.208	.496
32858.201	868	.368	.492	.481	35318.411	1961	.218	.509	.523
33101.320	976	.364	.505	.498	35397.152	1996	.196	.491	.511
33416.408	1116	.329	.491	.487	36045.386	2284	.138	.478	.496
33864.339	1315	.305	.497	.499					

** — панхроматический минимум.

В табл. 2 и 3 в столбцах O-C даны фазы, вычисленные с элементами Цесевича и Одынской, в столбцах O-C_A — с улучшенными нами элементами (A). Можно видеть, что отклонения O-C_A обнаруживают ход с эпохой. Для выявления характера изменения O-C_A были получены 18 средних минимумов,

каждый за промежуток времени в 100–200 дней (в двух случаях по 500 дней). Уклонения этих средних минимумов $O-C_A$ нанесены на график на рис. 1 (точками обозначены главные, кружками — вторичные, квадратами — панхроматические минимумы; сплошная линия — теоретическая синусоида), из которого ясно видно, что смещения главных и вторичных минимумов противоположны по знаку и намечается синусоидальный ход их, что должно быть

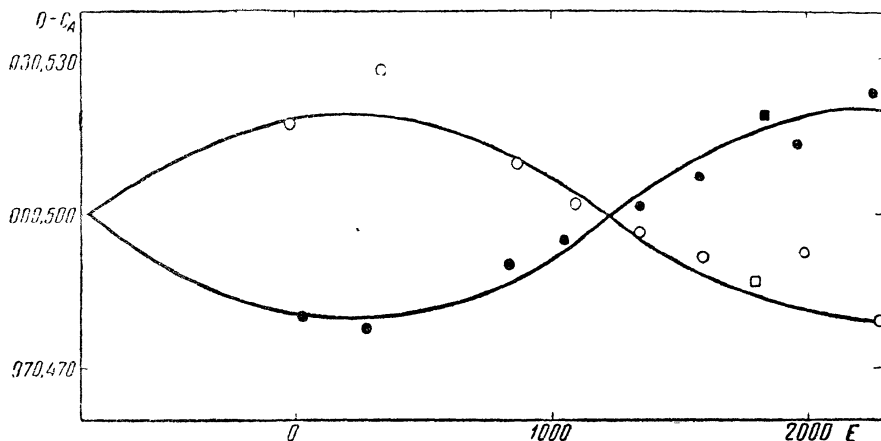


Рис. 1

интерпретировано как следствие движения линии апсид. Может быть, кроме отмеченных нами колебаний $O-C_A$, считаемых периодическими, имеется еще изменение периода, одинаково сказывающееся на главных и вторичных минимумах. Основанием к такому предположению служат 14 наблюдений по старым московским пластинкам за 1895—1899 гг., к сожалению, не давших ни одного минимума. Судя по 4 ослаблениям, главный минимум должен иметь место приблизительно на фазе $0^{\text{h}} 85$. Исправление периода на этом основании не представляется возможным, ибо такое исправление сильно ухудшает результаты наблюдений основного ряда.

График $O-C_A$ был приближенно представлен синусоидой. Тогда элементы DR Vul с найденным таким образом синусоидальным членом приняли следующий вид:

$\text{Min} \odot I = J. D. 2430903.360 + 2^{\text{d}} 250844 \cdot E \pm 0^{\text{h}} 020 \sin(70^\circ + 0^\circ 09 E)$, (B)
где $+$ употребляется для главного минимума, $-$ для вторичного. Коэффициент второго синусоидального члена оказывается равным $0^{\text{h}} 001$, и при нашей малой точности определения первого члена учитывать второй не имеет смысла. Фазы минимумов, вычисленные с элементами (B), помещены в табл. 2 и 3 в столбцах $O-C_B$.

С элементами (B) была построена средняя кривая блеска по 585 наблюдениям за 1942—1957 гг. (табл. 4 и рис. 2). Синусоидальный член вносился в каждое наблюдение с учетом его фазы.

Таблица 4

Фаза	m_{pg}	n									
0.001	9.32	9	0.077	8.73	10	0.208	8.62	15	0.359	8.62	15
.020	9.15	9	.092	8.58	10	.247	8.64	15	.380	8.66	15
.032	9.00	9	.112	8.64	14	.278	8.64	15	.410	8.59	15
.046	8.86	9	.144	8.62	15	.305	8.64	15	.433	8.74	8
0.064	8.78	10	0.173	8.63	15	0.338	8.58	15	0.448	8.69	9

Таблица 4 (окончание)

Фаза	m_{pg}	n									
0.471	8.93	9	0.551	8.84	10	0.741	8.62	15	0.920	8.61	10
.491	9.22	9	.560	8.71	9	.766	8.64	14	.929	8.65	10
.500	9.28	6	.573	8.72	9	.791	8.61	15	.938	8.67	10
.513	9.23	9	.598	8.70	15	.828	8.65	15	.947	8.72	10
.522	9.08	9	.626	8.62	15	.856	8.68	15	.970	9.01	9
.532	9.00	10	.654	8.58	15	.897	8.62	15	.978	9.04	9
.538	8.93	9	.683	8.63	15	0.914	8.64	9	0.990	9.24	9
0.542	8.93	9	0.716	8.64	15						

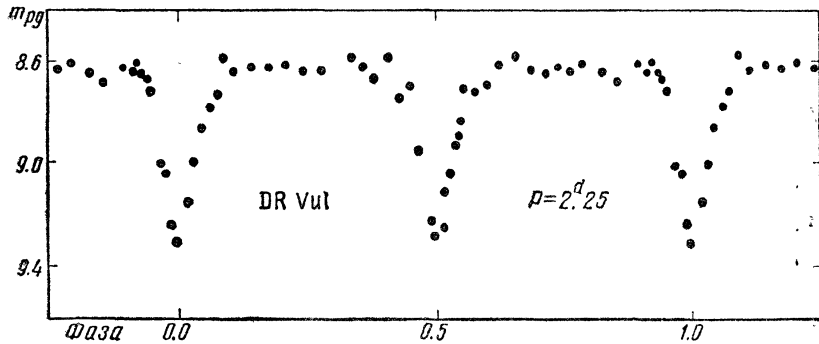


Рис. 2

По средней кривой блеска Max = 8^m63, Min I = 9^m32, Min II = 9^m28, $\Theta - C = +0^p003 = +0^d007$ (по обоим минимумам).

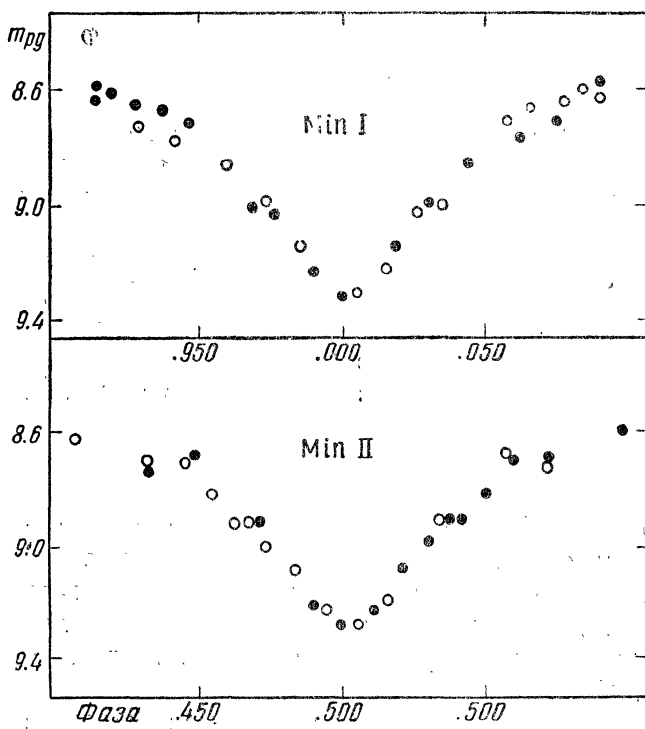


Рис. 3

Кривая блеска относится к эпохе 1230, когда линия апсид была расположена параллельно лучу зрения. Решить вопрос о равенстве долготы периастра 90° или 270° трудно, так как практически ширины главного и вторичного минимумов одинаковы и приблизительно равны $0^\circ 15$ (рис. 3). Кружками обозначены отраженные точки. Каждая точка содержит 8—10 наблюдений.

По 72 наблюдениям по панхроматическим пластинкам, охватывающим сравнительно небольшой интервал времени J. D. 2433889—35068, была построена кривая блеска с элементами (A) (рис. 4). По ней получены $O - C = +0^\circ 015$ для главного и $O - C = -0^\circ 020$ для вторичного минимумов, относящиеся к эпохе 1771. Соответствующие нормальные $Min\ I = 2434889.605$

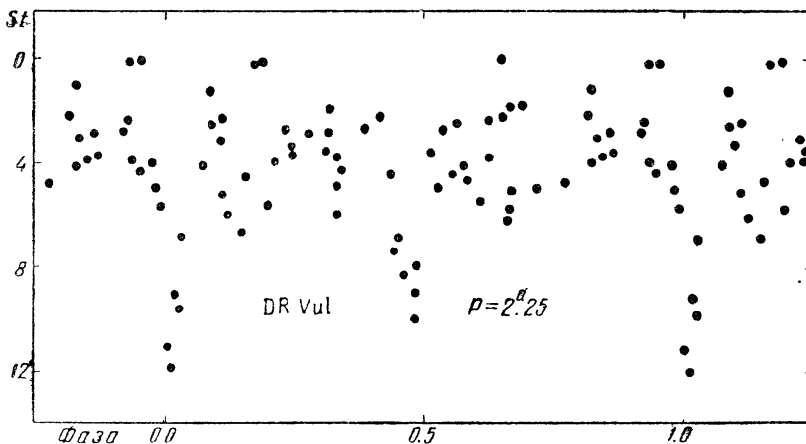


Рис. 4

и $Min\ II = 2434890.719$. Эксцентриситет орбиты, получаемый по этой кривой по формуле $T_2 - T_1 - \frac{P}{2} = \frac{2P}{\pi} e \cos \omega$ (в предположении $i \approx 90^\circ$), оказывается равным 0.07. Эксцентриситет, определенный таким же образом по более многочисленным наблюдениям на несенсибилизированных пластинках, оказывается равным 0.06.

Надо заметить, что вызывает недоумение необычно большой разброс оценок в средних кривых блеска как на фазах постоянного блеска, так и в минимумах. Отчасти такой разброс может быть объяснен неудобным расположением звезд сравнения (звезда a отстоит далеко от переменной) и сравнительно большим количеством неуверенных (односторонних) оценок, когда DR Vul находилась на краю пластиинки. Так как наблюдения недостаточно точны для выявления тонких эффектов, которые должны иметь место у этой затменной системы, то мы не стали вычислять орбиту. Наблюдения DR Vul приведены в табл. 5 и 6 (по панхроматическим пластинкам).

Выводы

1. Средняя кривая блеска DR Vul имеет в максимуме период постоянного блеска, как у обычных звезд типа Алголя, и в то же время края минимумов сглажены, что характерно для затменных типа β Lyr.
2. Имеет место движение линии апсид, вызываемое, по-видимому, эллипсоидальностью компонентов. Полный оборот линия апсид совершает за $4000 P$, т. е. приблизительно за 25 лет.
3. Эксцентриситет орбиты, определяемый по наибольшему смещению между главным и вторичным минимумами в предположении, что наклонность орбиты близка к 90° , равен 0.06.

Замечательная переменная звезда S 4732 Возничего

B. П. Цесевич

Эту переменную звезду я наблюдал визуально в 1956 — 1957 гг. Я ошибочно отнес ее к типу затменных звезд, в то время как она является короткопериодической цефеидой. Период мне удалось найти после того, как в ноябре 1957 г. я просмотрел фотографические снимки, полученные на Московской обсерватории. Элементы:

$$\text{Min hel} = \text{J. D. } 2436076.534 + 0.6194532 \cdot E; P^{-1} = 1.614327.$$

Обнаруженные моменты ослабления блеска представляются этими элементами так:

	Min J. D.	E	O-C
фот.	2414728.36	— 34463	+ 0.04
»	6198.36	— 32090	+ .08
»	6906.34	— 30947	+ .02
»	7650.26	— 29746	— .02
»	8327.28	— 28653	— .06
»	29365.31	— 10834	— .07
»	9370.30	— 10826	— .03
»	30073.35	— 9691	— .06
»	0104.34	— 9641	— .05
»	4426.29	— 2664	— .02
»	4768.35	— 2142	+ .10
»	4826.41	— 2018	— .07
»	5551.30	— 848	+ .06
виз.	5749.50	— 528	+ .04
»	6076.58	0	+ .05

С данными элементами были построены сезонные кривые, охватывающие интервалы порядка 2000 и 4000 суток. Все наблюдения отлично укладываются на кривые. Анализ показывает, что другие элементы подыскать невозможно, однако выяснено следующее:

1. Кривая блеска имеет почти синусоидальную форму. Правда, подъем блеска происходит медленнее падения. Форма кривой очень переменна. Одна из сезонных кривых, построенных по фотографическим наблюдениям, обладает очень широким плоским максимумом, при быстром падении блеска и более медленном подъеме. В этот период своей кривой блеска звезда напоминает затменную.

2. Период, несомненно, испытывает медленное колебание. Сравнение фотографических и визуальных моментов затруднено тем, что момент фотографического минимума на $0^{\text{h}}2$ опережает момент визуального минимума. Амплитуда порядка $1^{\text{m}}5$. Звезда желтая, так как в фотографических лучах она слабее, чем в визуальных.

Сезонные кривые блеска приведены в следующих таблицах:

Фотографическая кривая J. D. 2414691—2419855

Фаза	St	n	Фаза	St	n
0 ^p 066	25.1	1	0 ^p 688	7.6	4
0.225	16.3	4	0.810	16.4	2
0.352	9.8	3	0.932	21.6	2

Фотографическая кривая J. D. 2428598—2435779

Фаза	St	n	Фаза	St	n	Фаза	St	n
0 ^p 039	17.1	3	0 ^p 351	8.6	2	0 ^p 785	7.6	2
0.137	12.2	2	0.477	7.4	2	0.842	14.6	3
0.236	13.3	3	0.599	7.3	4	0.894	22.8	3
0.284	9.5	3	0.655	7.5	5	0.951	22.4	3

Визуальная кривая 1956 г.

Фаза	St	n	Фаза	St	n	Фаза	St	n
0 ^p 042	25.8	2	0 ^p 372	8.8	4	0 ^p 562	6.4	3
0.128	26.0	2	0.436	9.7	5	0.918	24.6	2
0.318	8.6	4	0.486	7.0	3	0.962	25.2	2

Визуальная кривая 1957 г.

Фаза	St	n	Фаза	St	n	Фаза	St	n
0 ^p 052	22.4	5	0 ^p 451	10.8	3	0 ^p 834	12.6	4
0.206	23.8	4	0.548	8.6	4	0.917	14.8	3
0.320	20.6	5	0.584	8.5	4	0.972	21.5	3
0.362	15.9	4	0.707	6.5	5			

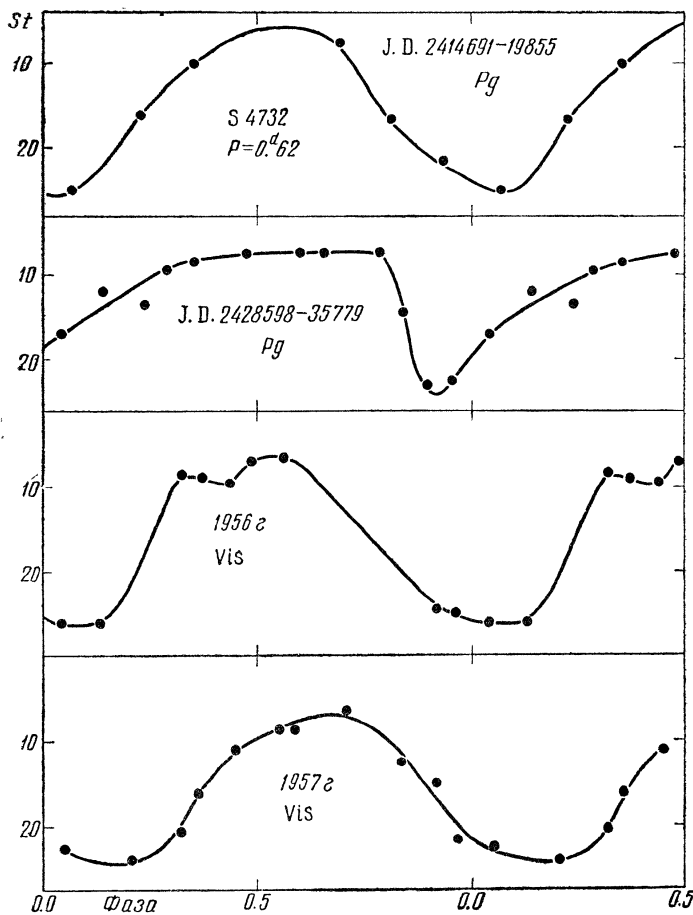


Рис. 1

принято и для последнего момента максимума по Кукаркину (здесь имеются легко различимые опечатки, или описки).

Уклонения $O - C$ и счет эпох даны от следующих элементов:

$$\text{Max} = \text{J. D. } 2426650.20 + 13.6072 \cdot E.$$

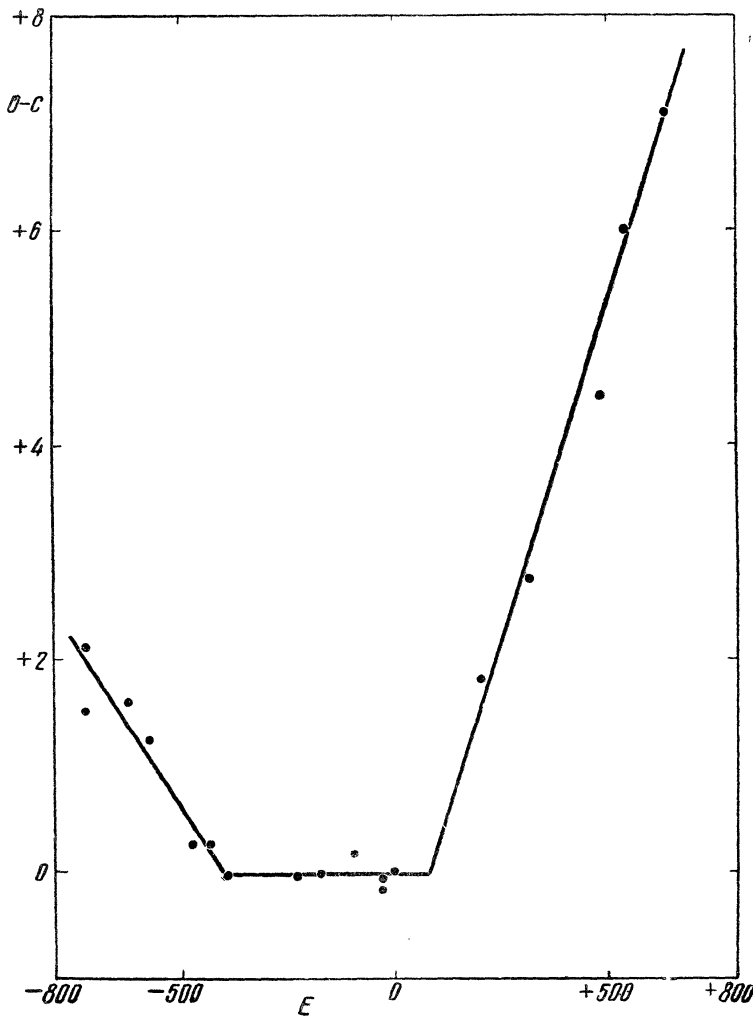


Рис. 1

Таблица 2

Max		E	$O - C$	$O - C_1$	$O - C_2$	$O - C_3$	Автор
2416746.28	pg	-728	+2.12	+0.41	—	—	Герасимович
2416745.68	vis	-728	+1.52	-0.49	—	—	Кукаркин
2418827.30	»	-575	+1.24	+0.20	—	—	Мюнцлер, Прачка
2420187.05	pg	-475	+0.27	-0.14	—	—	Герасимович
2420717.724	»	-426	+0.26	+0.09	—	—	Робинсон
2421261.72	vis	-296	-0.03	(+0.06)	-0.01	—	Люизе
2423520.50	pg	-230	-0.04	—	-0.02	—	Герасимович
2424309.75	vis	-172	-0.01	—	+0.01	—	Бейер
2426269.14	»	-28	-0.06	—	-0.04	—	Кукаркин
2425371.28	»	-94	+0.16	—	+0.18	—	Бейер
2426650.20	»	0	0.00	—	+0.02	—	Дунст
2426282.64	»	-27	-0.17	—	-0.15	—	Кукаркин
2417997.6	pg	-636	+1.6	+0.2	—	—	Ефремов
2429414.3	»	+203	+1.8	—	—	+0.4	»
2433976.9	»	+538	+6.0	—	—	+0.3	»
2435284.3	»	+634	+7.1	—	—	+0.1	»
2430939.22	»	+315	+2.75	—	—	-0.15	Филин
2433213.33	»	+482	+4.46	—	—	-0.46	»

На рис. 1 изображен ход $O-C$ в функции E . Видно, что период звезды принимал за время, охваченное наблюдениями, три дискретных значения:

Таблица 3

Пределы E	$O-C$	E	P	ΔP
от -750 до -400	$-2.58 - 0.0063 \cdot E$	≥ 350	13.6009	
» -400 » $+90$	$-0.02 + 0.0000 \cdot E$	490	13.6072	$+0.0063$
» $+90$ » $+650$	$-1.15 + 0.0129 \cdot E$	≥ 560	13.6201	$+0.0129$
Среднее		500	13.6094	$+0.0096$

В табл. 2 приведены уклонения от этих трех серий элементов, обозначенных через C_1 , C_2 и C_3 . Видно, что представление тремя сериями линейных элементов очень хорошее, а представление изменения $O-C$ параболой совсем не удовлетворит наблюдениям.

Средние значения изменений периода ΔP и среднее значение промежутка времени, выраженного в эпохах ΔE , в течение которого действовали данные линейные элементы, приведенные внизу табл. 3, хорошо удовлетворяют закономерностям, недавно обнаруженным мною для долгопериодических цефеид сферической составляющей [4]. Таким образом цефеиду SZ Cas нужно считать принадлежащей к цефеидам сферической составляющей Галактики.

Литература

1. Ю. Н. Ефремов, ПЗ 12, № 4, 1959.
2. L. V. Robinson, HA 90, 35, 1933.
3. Б. В. Кукаркин, ПЗ 4, 46, 1932.
4. П. П. Паренаго, ПЗ 11, № 4, 1956.

Гос. астрономический институт им. П. К. Штернберга
Январь 1958 г.

Затменная переменная IS Кассиопеи

Р. Г. Шнейдер

Блеск звезды оценен на 191 пластинке Московской обсерватории (J. D. 2429161 — 35724). Карта окрестностей приведена на рис. 1. Использовались элементы Флоря [1]:

$$\text{Min} = \text{J. D. } 2428776.262 + 1.8415172 \cdot E. \quad (1)$$

В качестве звезд сравнения взяты звезды SA 19 ($v = 432$). В табл. 1 приведены звезды сравнения (*), их обозначения (SA) и звездные величины (mg')

Таблица 1

*	SA	mg'	St	mg
<i>a</i>	318	14 ^m 20	0.0	14 ^m 20
<i>b</i>	145	11.55	3.2	11.55
<i>c</i>	330 s	11.99	7.2	11.99
<i>d</i>	60 s	12.44	10.8	12.42
<i>e</i>	64 s	12.62	13.4	12.64
<i>f</i>	219	12.70	15.6	12.75
<i>g</i>	173	12.88	18.0	12.88

по SA 19, степени (St) и исправленные по характеристической кривой звездные величины (mg).

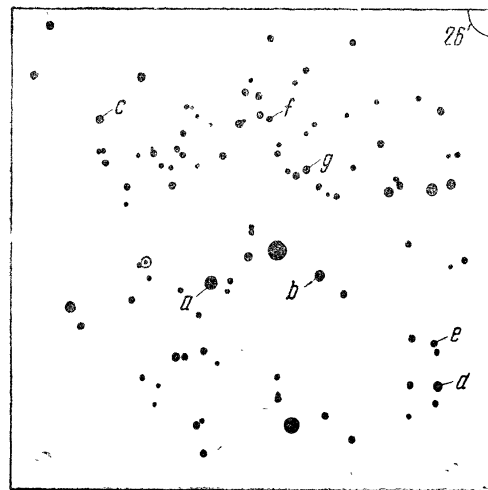


Рис. 1

По данным наблюдений вычислена средняя кривая (табл. 2, рис. 2):

Таблица 2

Фаза	mg	n	Фаза	mg	n	Фаза	mg	n	Фаза	mg	n
0.020	12 ^m 64	1	0.173	11 ^m 75	5	0.531	11 ^m 67	11	0.837	11 ^m 63	12
.025	12.42	4	.184	11.68	7	.576	11.72	8	.889	11.63	11
.030	12.22	2	.213	11.59	9	.609	11.62	9	.935	11.72	8
.037	11.91	5	.243	11.65	12	.637	11.69	10	.963	11.96	3
.049	11.75	6	.269	11.71	9	.673	11.65	9	.976	12.42	2
.065	11.64	6	.318	11.72	9	.694	11.63	10	.986	12.76	4
.101	11.72	7	.384	11.67	12	.719	11.64	11	.999	12.88	1
.128	11.63	6	0.465	11.63	10	0.756	11.65	10	0.012	12.70	1
0.143	11.69	6									

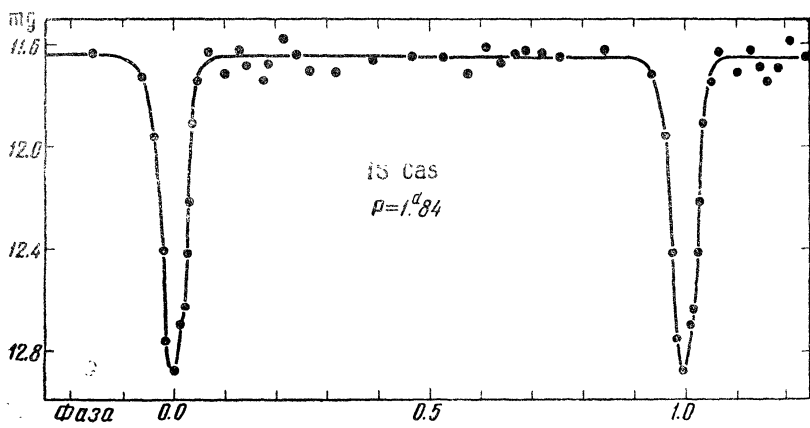


Рис. 2

Начальная эпоха была улучшена. Новая начальная эпоха $E_0 = J. D. 2428776.234$. Улучшенные элементы звезды:

$$\text{Min} = J. D. 2428776.234 + 1.8415172 \cdot E. \quad (2)$$

В табл. 3 приведены наблюденные моменты минимумов (Min), отклонения $O - C$ наблюденных моментов минимумов от вычисленных с элементами (1) и отклонения $O - C'$ от элементов (2).

Таблица 3

	Min	E	$O - C$	$O - C'$
J. D.	2433179.275	+2391	-0.055	-0.027
	2434223.441	2958	-0.029	-0.001
	2435363.322	3577	-0.047	-0.019

Звезда в минимуме имеет величину $12^m 88$, в максимуме — $11^m 66$. Амплитуда = $1^m 22$, $D = 0^p 15$. Вторичного минимума не обнаружено.

Литература

1. Н. Ф. Флоря, Труды ГАИШ XVI, 187, 1949.

Гос. астрономический институт им. П. К. Штернберга

Декабрь 1957 г.

Полуправильная переменная BD+55°224 Cas

Н. П. Кукаркина

Переменность BD + 55°224 Cas открыл в 1957 г. Р. Вебер [1]. Многоблеск этой звезды оценивался по 276 пластинкам Московской фотографической коллекции (J. D. 2413500 — 19070, 2427341 — 35773). Употреблявшиеся при оценках звезды сравнения приведены на рис. 1. Их звездные величины, определенные путем привязки к SA 8, даны в следующей таблице:

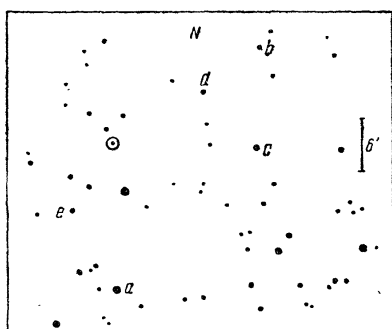


Рис. 1

a	$10^m .08$
b	$10^m .79$
d	$11^m .47$
c	$11^m .68$
e	$11^m .79$

Анализ наблюдений показал, что изменение блеска BD + 55°224 Cas имеет полуправильный характер со сравнительно небольшой амплитудой $10^m 7 - 11^m 8$. В интервале J. D. 2429000 — 30000 колебания представляются периодом 114^d , однако предшествующие и последующие наблюдения этим периодом не представляются. Спектр этой звезды по Дирнбургскому каталогу — M6.

Ниже приведены наблюдения BD + 55°224 Cas.

в степенях (St), звездные величины, определенные привязкой к звездам SA 18 (mg') и выравненные по характеристической прямой (mg^1).

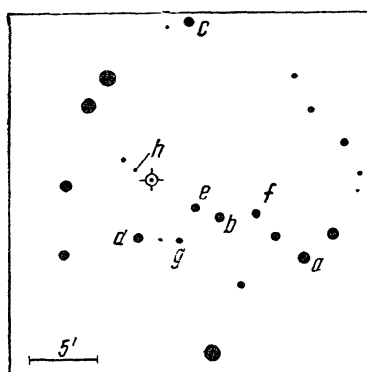


Рис. 1

Таблица 1

*	St	mg'	mg^1
a	0.0	11 ^m 28	11 ^m 26
b	3.6	11.97	11.94
c	7.0	12.53	12.56
d	8.0	12.55	12.66
e	10.2	13.17	13.17
f	10.6	13.20	13.22
g	11.4	13.39	13.39
h	15.0	—	14.08*

Обнаружены две новые эпохи максимумов: J. D. 2429170 и 2434130. Максимумы кривых блеска сильно размыты, особенно во втором случае, как видно на рис. 2. Этим, в частности, объясняются уклонения вычисленных эпох максимумов от наблюденных.

В табл. 2 приведены все известные наблюденные эпохи максимумов (Max), уклонения вычисленных эпох от наблюденных ($O - C$) и ($O - C'$) для элементов Бренса и исправленных элементов соответственно. E — соответствующее число протекших эпох.

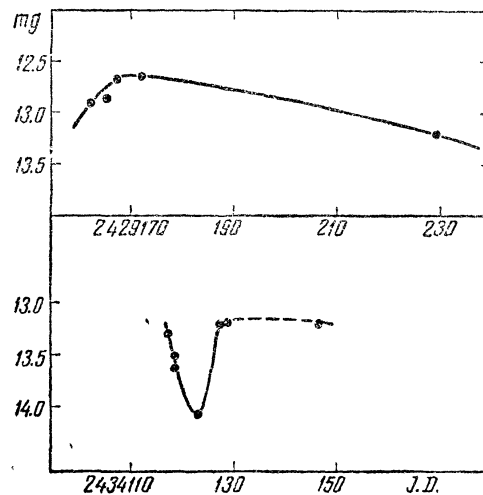


Рис. 2

Таблица 2

Max J. D.	$O - C$	$O - C'$	E	Ссылка
2416720	+45 ^d	0 ^d	-13	2
17970	+45	+5	-11	3
24800	0	-10	0	1
25425	0	-7	1	1
26059	9	+4	2	4
26675	0	-2	3	1
27300	0	+1	4	1
29170	-5	+4	7	
2434130:	-45:	-14:	15	

* На пластинках, по которым производилось определение величин звезд сравнения: привязкой к звездам SA 18, звезда сравнения h не вышла. Звездная величина (mg) определена по ее степени экстраполяцией характеристической прямой.

Элементы Бренна:

$$\text{Max} = \text{J. D. } 2424800 + 625 \cdot E.$$

Исправленные элементы:

$$\text{Max} = \text{J.D. } 2424810 + 622.3 \cdot E.$$

На рис. 3 уклонения ($O - C'$) изображены графически.
Наблюдения приведены в табл. 3.

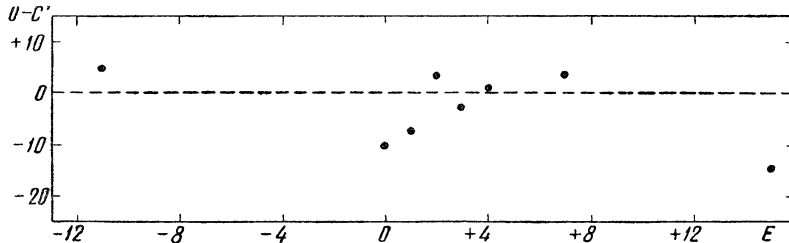


Рис. 3

J. D.	mg						
24...	24...	24...	24...	24...	24...	24...	24...
16736.381	11 ^m .67	29172.381	12 ^m .66	34117.472	13 ^m .30	34128.373	13 ^m .17
27342.270	11.94	229.301	13.20	118.436	13.53	146.429	13.17
28045.424	14.08	491.408	14.65	118.460	13.63	510.446	14.65
29162.346	12.89	496.480	14.65	123.366	14.08	34638.352	14.65
165.410	12.86	33179.368	14.08	127.443	13.17	35348.473	13.53
167.361	12.66	952.275	13.91				

Л и т е р а т у р а

1. A. Brun, BAF 2, 176, 1933.
2. W. Ceraski, AN 166, 354, 1904.
3. E. Zinner, BZ 1, 12, 1919.
4. L. Jacchia, BZ 12, 79, 1930.
5. M. Mündler, AN 209, 39, 1919.
6. E. Zinner, Bamb Veroff 1, 364, 1932.
7. C. Hoffmeister, Sonn Mitt 20, 1931.

Астрономический совет АН СССР

Декабрь 1957 г.

Переменные звезды
Бюллетень, том 12, № 4 (100)

*

*Утверждено к печати
Астрономическим Советом
Академии наук СССР*

*

Технический редактор *В. В. Брузгуль*

*

РИСО АН СССР № 55-14 В. Сдано в набор 10/XII 1958 г.
Подписано к печати 30/VI-1959 г. Формат 70×108^{1/16}, 4,5 печ. л. =
= 6,16 усл. печ. л. Уч.-изд. л. 6,3 Тираж 800 экз.
Т-06962 Изд. № 3518. Тип. зак. № 3364.

Бесплатно

Издательство Академии наук СССР
Москва, Б-62, Подсосенский пер., д. 21

2-я типография Издательства АН СССР
Москва, Г-99, Шубинский пер., 10

ПЕРЕМЕННЫЕ ЗВЕЗДЫ

Бюллетень, издаваемый Астрономическим Советом

Академии наук СССР

Том 12

№ 5(101)

Ноябрь 1958 г.

СОДЕРЖАНИЕ

СТАТЬИ

<i>O. A. Мельников.</i> О нуль-пункте кривой период — светимость для долгопериодических цефеид плоской составляющей (1-го типа населения)	320
<i>E. F. Лудченко.</i> Каталог положений 70 переменных звезд	328
<i>G. S. Штейман.</i> О десяти долгопериодических цефеидах в созвездии Лебедя	337
<i>M. A. Бессмертнов, V. A. Винник, I. V. Матвеев, A. A. Сазанов.</i> Результаты визуальных наблюдений переменных звезд по программе Куйбышевской астрономической обсерватории	353
<i>O. D. Докучаева.</i> Окончательная кривая блеска DN Близнецов	358

ЗАМЕТКИ

<i>N. B. Перова.</i> MM Кассиопеи	364
<i>B. V. Кукаркин, I. D. Новиков.</i> BD + 62°2332	366
<i>V. P. Цесевич.</i> SVS 850 Орла	368
<i>N. B. Перова.</i> Переменная Bamberg 185	371
<i>O. D. Докучаева.</i> Определение спектрофотометрической температуры и декремента серии Бальмера AG Пегаса (1952 г.)	372
<i>O. E. Мандель.</i> Визуальные наблюдения DY Пегаса	373
<i>Э. А. Дибай.</i> Звезды сравнения Новой Лебедя 1948 г.	376

CONTENTS

ARTICLES

<i>O. A. Melnikov.</i> On the Zero-point of the Period—Luminosity Curve for Long-period Cepheids of the Flat Component of the Galaxy (population 1)	320
<i>E. F. Ludchenko.</i> A Catalogue of Positions of 70 Variable Stars	328
<i>G. S. Steiman.</i> Ten Long-period Cepheids in Cygnus	337
<i>M. A. Bessmertnov, V. A. Vinnik, I. V. Matveyev, A. A. Sazanov.</i> The Results of Variable Star Observations according to the Program of the Kuibyshev Astronomical Observatory	353
<i>O. D. Dokuchayeva.</i> The Final Light Curve of DN Geminorum	358

NOTES

<i>N. B. Perova.</i> MM Cassiopeiae	364
<i>B. V. Kukarkin, I. D. Novikov.</i> BD + 62°2332	366
<i>V. P. Tschesevich.</i> SVS 850 Aquilae	368
<i>N. B. Perova.</i> The Variable Star Bamberg 185	371
<i>O. D. Dokuchayeva.</i> The Determination of the Spectrophotometrie Temperature and the Balmer Serie Decrement of AG Pegasi (1952)	372
<i>O. E. Mandel.</i> Visual Observations of DY Pegasi	373
<i>E. A. Dibai.</i> Comparison Stars for Nova Cygni 1948	376

